

Geothermometry and physiochemical condition of Qaleh-Zari Cu-Au ore bearing solution based on chlorite composition and fluid inclusion study

Karimpour, M.H.

Faculty of Sciences, Ferdowsi University of Mashhad, Mashhad

Khin Zaw.

Special center for ore deposit and exploration study,

University of Tasmania, Australia

Keywords: Chlorite, ripidolite, geothermometry, Qaleh Zari.

Abstract: Qaleh-Zari mine is the largest Cu-Au vein type deposit in Iran and is located about 182 km south of Birjand (Khorasan province). The ore grade ranges from Cu= 0.5-8%, Au= 0.5-15 ppm, and Ag= 20-150 ppm. Mineralization concentrated in three major veins. Host rocks are mainly andesite to basaltic andesite (Paleocene-Eocene). The main paragenesis is: quartz, hematite (specularite), chlorite, chalcopyrite, ± pyrite, ± Ag-sulfosalts, and ± gold.

Samples were collected from three veins at depth of -70, -100, -135, and -170 meters. At each level, samples are taken every 10m. Chlorites are mainly Fe-rich ripidolite, however a few samples are brunsvigite and pycnochlorite. Temperature of chlorites formation were calculated based on the Cathelineau and Nieva (1985) equation. The chlorites were formed between 260-300°C. The temperature of chlorite formation is 10-30°C less than temperature measured from fluid inclusion. Using chlorite composition and fluid inclusion data from Qaleh-Zari, new equation is presented for calculation of temperature for chlorite formation. The ore fluid contained

$$\log mH_2S = -3 \text{ to } -3.5, \log mH_2 < -5.5, \log fO_2 = -30 \text{ to } -29.$$

پژوهشی

دماسنجه و شرایط فیزیکو شیمیایی محلول کانه‌دار بر مبنای کلریت و سیالات درگیر در معدن مس - طلا قلعه زری

محمد حسن کریم‌پور

گروه زمین‌شناسی، دانشگاه فردوسی مشهد

خین زاو

مرکز ویژه مطالعات و تحقیقات ذخایر و اکتشافات معدنی دانشگاه تاسمانیا، استرالیا

چکیده: معدن مس قلعه‌زری بزرگترین معدن مس رگه‌ای ایران، در ۱۸۲ کیلومتری جنوب بیرونی واقع شده است. عیار مس بین ۵٪ تا ۲۰٪ درصد، نقره ۲۰٪ تا ۱۵٪ گرم در تن و طلا ۵٪ تا ۱۵٪ گرم در تن است. کانی‌سازی عمده‌ای در سه رگه مت مرکز شده است. غالب سنگهای در برگیرنده شامل آندزیت تا آندزیت بازالتی (با سن پالئوسن - ائوسن) است. کانی‌سازی منطقه شامل کوارتز، هماتیت (اسپکولاڑیت)، کلریت، کالکوپیریت، ± طلا، ± کانی‌های حاوی نقره و ± پیریت است.

نمونه برداری از سه رگه اصلی در اعماق ۱۰۰، ۱۰۰، ۱۳۵ و ۱۷۰ متری صورت گرفت، و از رگه‌ها به فاصله ۱۰ متر از یکدیگر نمونه برداری شد. غالب کلریتها از نوع رپیدولیت غنی از آهن و چند نمونه پینوکلریت - برانزویجیت‌اند. دمای تشکیل کلریتها براساس فرمول کاتلینو و نیوا [۹] محاسبه و بین ۲۶۰°C تا ۳۰۰°C است.

دمای کلریتها ۱۰°C تا ۳۰°C کمتر از دمای اندازه‌گیری شده سیالات درگیر کوارتز است. فرمول کاتلینو و نیوا [۹] براساس کلریتها قلعه‌زری تغییر می‌کند و فرمول جدید جهت محاسبه دمای تشکیل کلریتها ارائه می‌شود. در محلول کانه‌دار قلعه زری نتایج به شرح زیرند. $\text{logmH}_2\text{S} = ۳ - \text{Ta} - ۳۰$ ، $\text{logfO}_2 = ۵/۵ - ۳/۵ < \text{Ta}$ بوده.

واژه‌های کلیدی: کلریت، رپیدولیت، قلعه‌زری، دماسنجه

مقدمه

معدن مس قلعه‌زرنی در استان خراسان و در ۱۸۲ کیلومتری جنوب شهرستان بیرجند واقع شده است. کانسار قلعه‌زرنی مهمترین و بزرگترین معدن مس نوع رگه‌ای ایران است. غالب سنگهای در برگیرنده از نوع آتشفسانی با ترکیب آندزیت تا بازالت است. در مرکز منطقه، شیل و ماسه سنگهای ژوراسیک رخنمون دارند. رگه‌ها دارای امتداد شمال غرب - جنوب شرق و شیب آنها ۸۰ تا ۸۵ درجه به سمت شمال شرق است. عرض منطقه کانی‌سازی بین ۵,۵ تا ۱۰ متر است. عیار مس بین ۸,۵ تا ۱۰,۵ درصد، طلا ۰,۵ تا ۱۵ گرم در تن و نقره ۲۰ تا ۱۵۰ گرم در تن گزارش شده است [۱]. مجموع میزان ذخیره برداشت شده و باقی‌مانده در حدود ۱۰ میلیون تن برآورد می‌شود.

براساس آثار باقی‌مانده از برداشت رگه‌ها در مناطق پرعيار، سرباره‌های نسبتاً زیاد و موارد دیگر، بهره‌برداری در این معدن از ادوار گذشته (زمان شداد) انجام می‌شده است. مطالعات و بهره‌برداری از سوی دو شرکت ایرانی و ژاپنی (شرکت لوت و تیتسو ژاپن) از سال ۱۳۴۹ آغاز و در سال ۱۳۷۱ شرکت ملی صنایع مس ایران سهم شرکت ژاپنی را خریداری کرد. در حال حاضر شرکتهای میناکان و صنایع مس ایران از این معدن بهره‌برداری می‌کنند.

روش مطالعه

به منظور مطالعه کانی‌شناسی (شناسایی کانیها و مطالعه پاراژنز)، دماسنجدی، و نیز تجزیه کانیها با میکروسکوپ الکترونی، از سه رگه اصلی نمونه‌برداری شد.

نمونه‌برداری از تونلها در اعمق -۷۰، -۱۰۰، -۱۳۵ و -۱۷۵- متری انجام گرفت. چاه شماره (۱) (Shaft No.1) در هر عمق به عنوان ایستگاه مبنا انتخاب شد، و نمونه‌برداری در هر عمق به فاصله ۱۰ متر از یکدیگر در امتداد جنوب شرق و شمال غرب صورت گرفت. نمونه‌های برداشت شده از سمت جنوب شرق چاه شماره (۱) با علامت R و در محدوده شمال غرب با علامت L نمایش داده شدند. ابتدا مقاطع صیقلی و نازک صیقلی از همه نمونه‌ها تهیه شد و کانیهای فلزی و غیرفلزی آنها به دقت مورد مطالعه قرار گرفتند. در رگه‌های شماره (۱)، (۲) و (۳) در اعماق مختلف، همراه کوارتز، هماتیت و کالکوپیریت، کانی کلریت مشاهده شدند. با استفاده از میکروسکوپ الکترونی، ترکیب کلریتها تعیین شد و برای کنترل دمای به دست آمده از کلریت، سیالات درگیر کوارتز نیز مورد مطالعه قرار گرفتند.

زمین‌شناسی

قدیمی‌ترین واحدهای سنگی که در منطقه رخنمون دارند شیل و ماسه سنگهای ژوراسیک هستند. این واحد در جنوب و جنوب شرق رگه‌های اصلی واقع شده است (شکل ۱). در ارتفاعات دم رویاه (شرق روستای قلعه‌زری)، کنگلومرا قرمز رنگ کرتاسه فوقانی به صورت ناپیوسته روی شیل و ماسه سنگهای ژوراسیک قرار دارد [۲]. روی کنگلومرا آهک ماسه‌ای به ضخامت ۲۰۰ متر قرار گرفته که براساس نوع فسیلها به کرتاسه فوقانی تعلق دارد. در جنوب ارتفاعات دم رویاه، آهک توده‌ای کرم‌رنگ با ضخامت ۱۳۰ متر و با سن پالتوسن قرار دارد. فعالیتهای آتشفشاری در این منطقه بعد از پالتوسن شروع و در چند مرحله تکرار شده است. انواع سنگهای پیروکلاستیکی و گدازه در این منطقه شناسایی شده‌اند (شکل ۱).

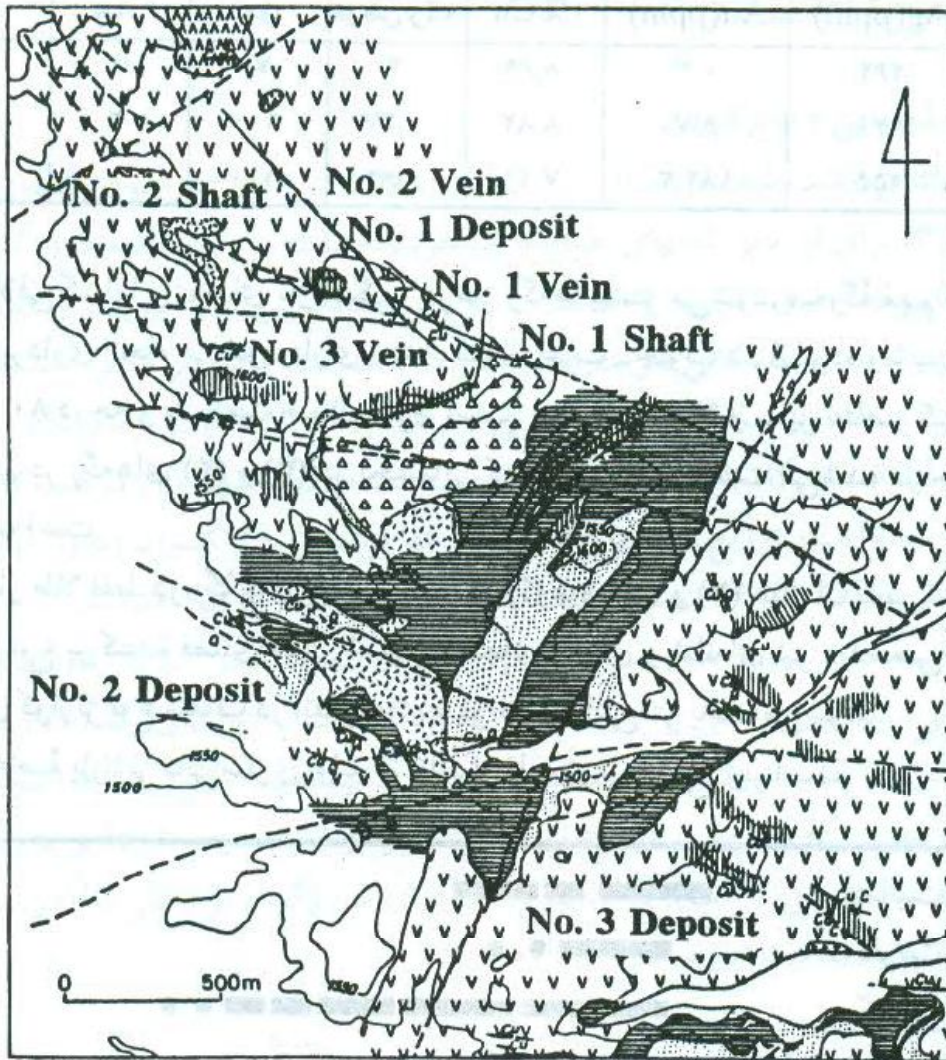
پترولوژی سنگهای آتشفشاری منطقه توسط صدقیانی [۳]، دیمهور [۲] و ترکیان [۴] مطالعه شده است. ترکیب غالب سنگها آندزیت تا آندزیت بازالتی است و به طور محدود ترکیب داسیتی گزارش شده است. فعالیتهای جوانتر عموماً از نوع بازالتی‌اند. آندزیت و آندزیت‌های بازالتی از نوع کالک آلکالن تا کالک آلکالن غنی از پتاسیم هستند. بازالت‌های جوان از نوع تولئی‌ایت‌اند. محیط زمین ساختی آنها کمریند آتشفشاری منطقه فروزانش است [۲]. سن سنگهای آتشفشاری محدوده غربی کانسار قلعه زری به روش K-Ar $40,5 \pm 2$ میلیون سال گزارش شده است [۴]. توده‌های نفوذی با فاصله از کانسار قلعه زری شامل توده‌های نفوذی شاهکوه است. رخنمون بسیار محدود میکرودیوریتی در منطقه کانی‌سازی گزارش شده است.

درزه‌ها و گسله‌های منطقه دارای سه روند زیرند [۲]

- ۱ - روند شمال غرب - جنوب شرق، ۲ - روند شمال شرق - جنوب غرب و
- ۳ - روند شمالی - جنوبی. روند شمال غرب - جنوب شرق قدیمتر و بخش اعظم کانی‌سازی مس - نقره در این ساختارها تشکیل شده است.

کانی‌سازی و دگرسانی

کانسار قلعه‌زری از نوع رگه‌ای است. بهره‌برداری از سه رگه شماره (۱)، (۲) و (۳) و در اعماق بیش از ۲۰۰ متری در حال انجام است (شکل ۱). طول رگه (۲) بیش از ۳ کیلومتر است و بهره‌برداری در طول کمتر از ۲ کیلومتر انجام شده است. طول رگه (۱) ۶۵۰ متر و طول رگه (۳) کمتر از ۵۰۰ متر است. عرض رگه‌ها بین ۵,۰ تا ۷ متر تغییر می‌کند. در



	Microdiorite		Carbonates Vein
	Basalt and its Pyroclastics		Quartz Vein
	Porphritic Andesite		Copper Vein
	Green Acidic Tuff		Zone of Epidotization
	Andesite		Zone of Argillic Alteration
	Shale		Possible Fault
	Sandstone		Proved Fault

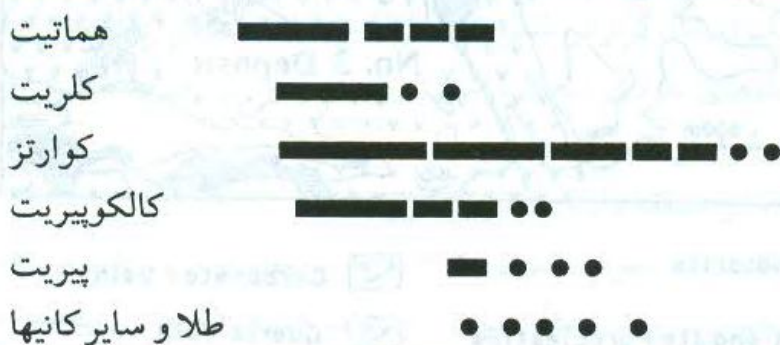
شکل ۱ - نقشه زمین شناسی کانسار قلعه زردی [۱]

جدول ۱ - عیار کانسنگ مس قلعه‌زرنی [۱]

Ag(ppm)	Au(ppm)	%Cu	عرض رگه	عمق	چاه	رگه
۲۶۴	۰,۳	۸,۶۹	۳	۷۰	۱	۲
۶۲۰	۸,۷	۸,۸۲	۰,۲۷	۱۰۰	۲	۲
۲۵۵	۱۸۲,۳	۷,۲۹	۰,۸۲	۱۰۰	۱	۳

محل تلاقی گسلها و زونهای بازشدگی، عرض رگه‌ها بیشتر می‌شود. سه رگه مهم که در آن بهره‌برداری انجام می‌شود دارای امتداد شمال غرب - جنوب شرق بوده و شبیه آنها بیش از ۸۰ درجه و به سمت شمال شرق است. عیار مس، طلا و سایر عناصر کانسار قلعه‌زرنی در رگه‌های (۲) و (۳) در بخش‌هایی که در گذشته برداشت می‌شده در جدول (۱) آمده است.

عیار طلا فقط در رگه (۳) بالاست، اما در رگه‌های (۱) و (۲) عیار آن پایین است. بافت از نوع پرکننده فضای خالی است. حالت‌های لایه‌ای و شانه‌ای نیز دیده می‌شود. بلورهای کوارتز نوع شفاف در اندازه‌های بیش از ۱ سانتی‌متر یافت می‌شوند. خلاصه پاراژنز کانی‌سازی اولیه در کانسار قلعه‌زرنی به شرح زیر است



هماتیت (اسپکولاویت)، کلریت و کوارتز از اولین کانیهای متبلور شده است. در ادامه تبلور، کالکوپیریت و کانیهای حاوی نقره و طلا تشکیل شده‌اند. پیریت در دمای پایین‌تر تشکیل شده است.

دگرسانی غالب منطقه از نوع پروپلیتی است. کانیهای سنگها به‌طور کامل به اپیدوت و کلریت دگرسان شده‌اند. اپیدوت علاوه بر متن سنگ، در سطح درزه‌ها و شکستگیها نیز تشکیل شده است. شعاع گسترش منطقه پروپلیتی نسبتاً زیاد است. منطقه آرژیلیتی

نسبتاً محدود و در اطراف رگه‌ها تشکیل شده است. منطقه سیلیسی شامل منطقه کانی‌سازی و بخشی از سنگهای دیراره است.

توصیف شیمیایی و نوع کلریت

نمونه‌های برداشت شده از اعماق ۷۰، ۱۰۰، ۱۳۵ و ۱۷۰ در طول رگه‌های (۱)، (۲) و (۳) برای ارزیابی کانیهای فلزی و غیرفلزی به دقت مورد مطالعه قرار گرفتند. نمونه‌هایی که حاوی کلریت + هماتیت + کوارتز + کانکوپریت ± پیریت بودند، برای مطالعه انتخاب شدند. کانی کلریت غالباً همزمان با هماتیت و کوارتز متبلور شده است. کلریتها با استفاده از میکروسکوپ الکترونی نوع SX-50-Cameca در آزمایشگاه مرکزی علوم (CSL) دانشگاه تاسمانیا (استرالیا) تعیزی شدند. در جدول (۲) ترکیب کلریتها گزارش شده است. توزیع کاتیونها و فرمول کلریتها براساس ۲۸ اکسیژن (بدون O₂) و یا براساس (O, OH) ۳۶ محاسبه شده است که در جدول (۲) [۵] آمده‌اند.

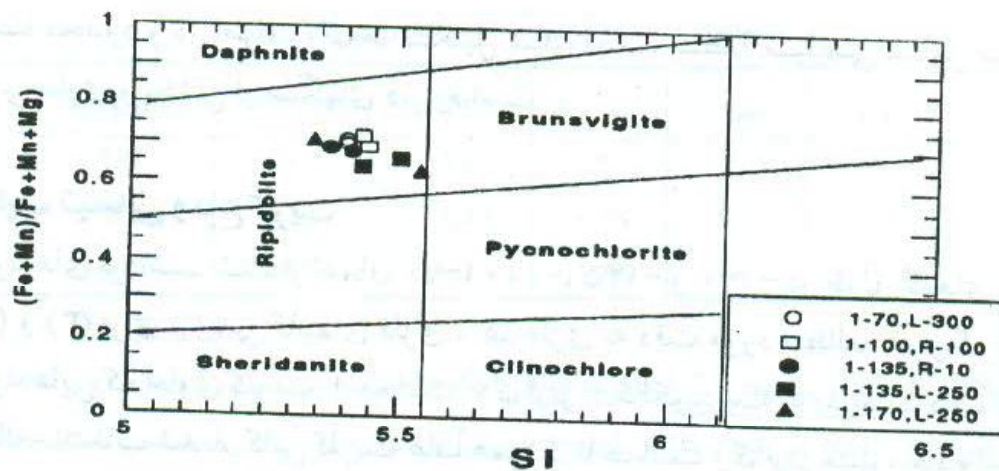
با استفاده از نمودارهای استاندارد، [۶] نوع کلریتها مشخص شدند. کلریتها رگه (۱) از نوع رپیدولیت (غنى از آهن) است (شکل ۲-الف). کلریتها رگه (۲) بیشتر از نوع رپیدولیت و دو نمونه در محدوده پینوکلریت - برانزویجیت واقع شده‌اند (شکل ۲-ب). کلریتها رگه (۳) بیشتر از نوع رپیدولیت‌اند و دو نمونه در محدوده برانزویجیت واقع شده‌اند (شکل ۲-پ). در مجموع، کلریتها سه رگه از نوع غنى از آهن بوده و تشکیل آنها با هماتیت این موضوع را تأیید می‌کند.

تعیین دمای تشکیل کانسار قلعه‌زدی با استفاده از ترکیب کلریت

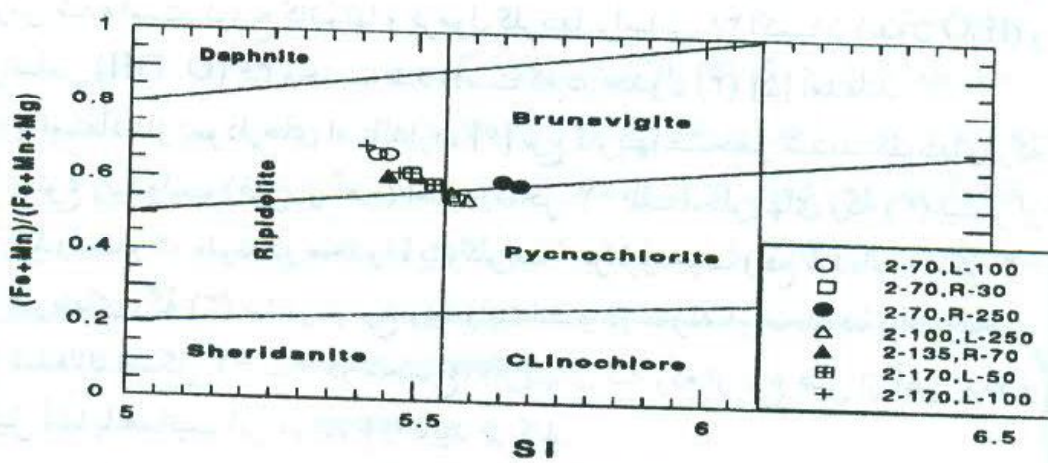
استفاده از ترکیب کلریت به منظور دماستنبی از سوی دانشمندان مختلف از طریق پژوهش‌های آزمایشگاهی و اندازه‌گیریهای مستقیم در مناطق چشممه‌های آبگرم فعال انجام شده است [۷، ۸ و ۹]. مطالعات دماستنجی در مناطق با چشممه‌های آبگرم فعال (مکزیک) و تعییزه کلریتها تشکیل شده در این مناطق توسط کاتلینو و نیوا [۹] انجام داده‌اند. تغییرات خطی خوبی بین تغییرات دمای آب و میزان A1^{IV} در شبکه کلریت برقرار است. در این خصوص رابطه

$$\frac{۰,۰۸۲۶ + A1^{IV}}{۰,۰۰۴۷۱} = T \quad \text{به منظور تعیین دمای تشکیل کلریت ارائه گردیده است [۹].}$$

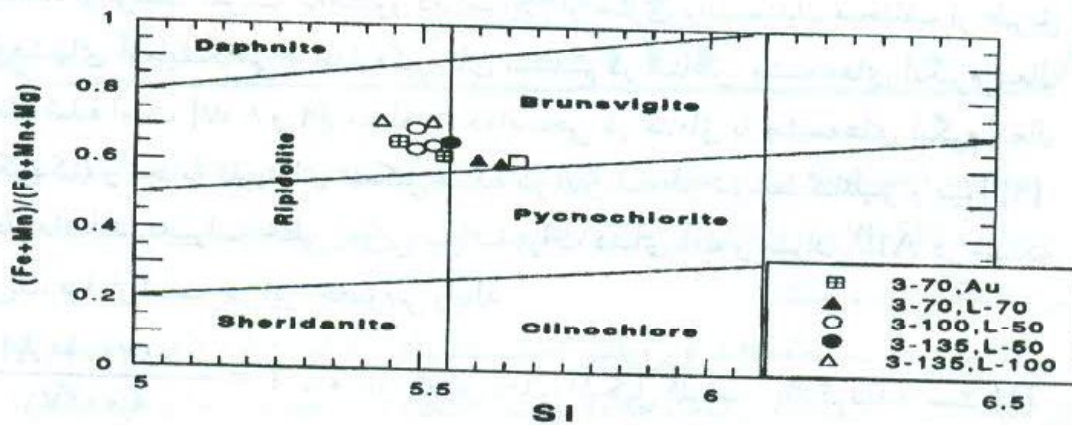
میزان A1^{IV} در این معادله براساس محاسبه فرمول کلریت بر مبنای ۱۴ اکسیژن است.



شکل ۲-الف - نموداری از ترکیب کلریتها رگه (۱)



شکل ۲-ب - نموداری از ترکیب کلریتها رگه (۲)



شکل ۲-پ - نموداری از ترکیب کلریتها رگه (۳)

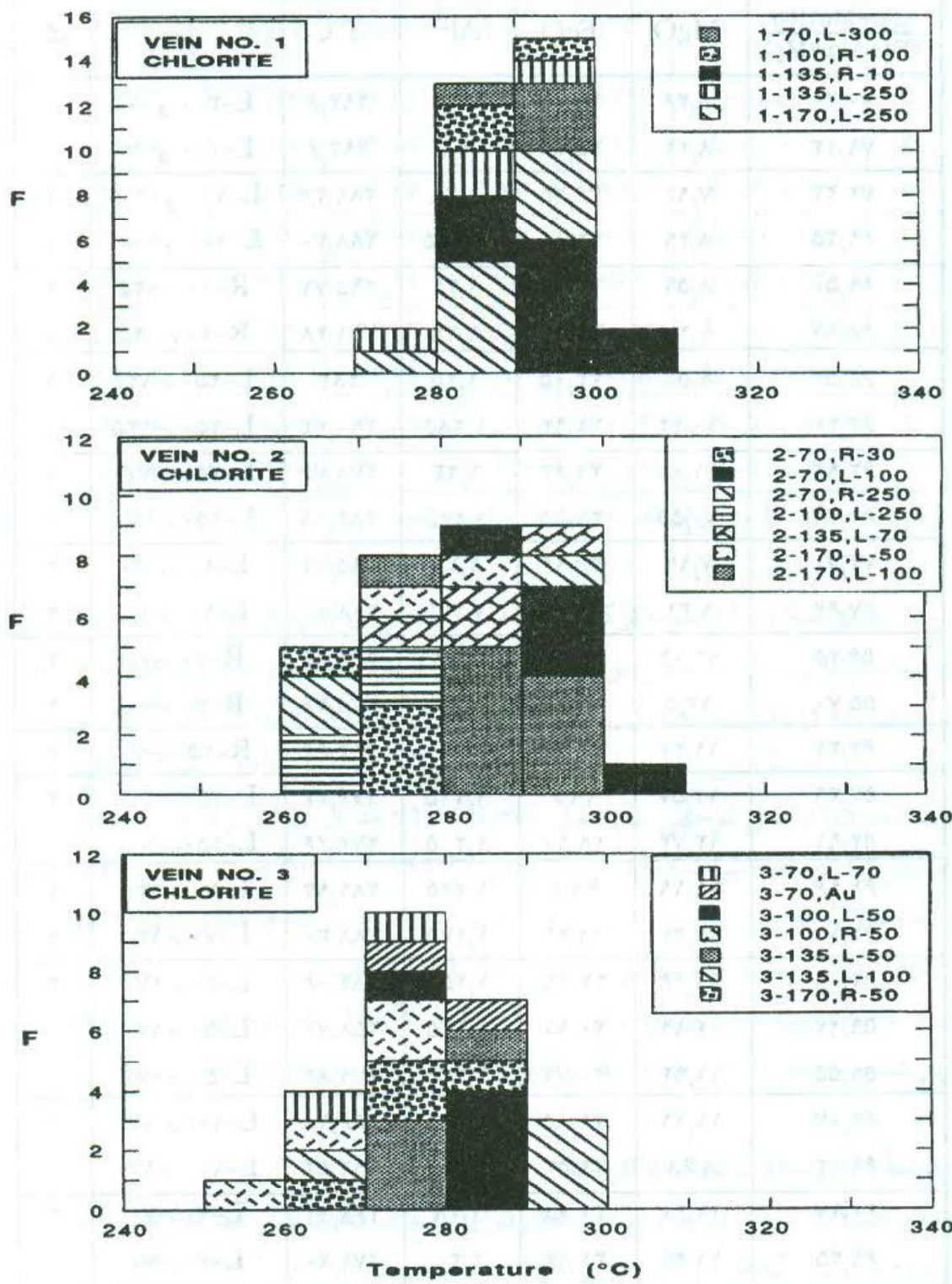
نمونه	۱-۷۰, L-۳۰, ۰	۱-۱۰۰, R-۱۰۰	۱-۱۳۵, L-۲۵۰	۱-۱۳۵, R-۱۰	۱-۱۷۰, L-۲۵۰	۱-۱۷۰, L-۱۰۰
	r(۱)	r(۲)	r(۱)	r(۲)	r(۱)	r(۲)
SiO ₂	۲۲/۲۵	۲۲/۱۲	۲۲/۲	۲۲/۱	۲۵/۰۲	۲۲/۸
TiO ₂	۰/۰۲۵	۰/۰۰۹	۰/۰۱	۰/۰۲	۰/۰۰۷	۰/۰۲
Al ₂ O ₃	۱۸/۱۲	۱۹/۱۰	۱۹/۰۵	۱۹/۰۸	۱۹/۲۱	۱۹/۱۶
TFeO	۲۳/۷۵	۲۵/۳۹	۲۲/۰	۲۲/۸	۲۲/۰۵	۲۲/۱۲
MnO	۱/۰۴	۰/۰۸	۰/۰	۰/۲۲	۰/۰۷	۰/۰۸
MgO	۸/۳۲	۸/۲۲	۷/۹۲	۸/۳۹	۸/۵۱	۸/۱۷
CaO	۰/۰۱۳	۰/۰۰۹	۰/۰۵	۰/۰۶	۰/۰۰۹	۰/۰۳۳
H ₂ O	۱/۰۷	۱/۰۶۹	۱/۰۷۶	۱/۰۷۱	۱/۰/۹۳	۱/۰/۷۲
مجموع	۵۱/۱۵	۵۱/۰۵	۴۹/۲۲	۴۹/۰۵	۴۹/۰۱	۴۹/۰۱
Si	۰/۱۳	۰/۱۳	۰/۱۳	۰/۱۰	۰/۱۳	۰/۱۳
Al ^{IV}	۲/۲	۲/۰	۲/۰۵	۲/۰	۲/۰۷	۲/۰۲
Al ^{VI}	۲/۲۱	۲/۱۷	۲/۰۱	۲/۱۲	۲/۰۵	۲/۰۵
Mg	۲/۸۲	۲/۷۷	۲/۸۰	۲/۱۱	۲/۰۹	۲/۰۵
TFe	۲/۰۳	۲/۰۲	۲/۰۰	۲/۰۷	۲/۰۲	۲/۰۹
Ca	۰/۰۰۳	۰/۰۰۷	۰/۰۱	۰/۰۱	۰/۰۰۸	۰/۰۰۰
Mn	۰/۰۰۰	۰/۰۰۸	۰/۰۰۵	۰/۰۱۲	۰/۰۱۲	۰/۰۰۰
Ti	۰/۰۰۴	۰/۰۰۱	۰/۰۰۴	۰/۰۰۱	۰/۰۰۱	۰/۰۰۲
مجموع کاپوچنها	۰/۰۰۳	۰/۰۰۲	۰/۰۰۱	۰/۰۰۵	۰/۰۰۴	۰/۰۰۰
x	۰/۰۰۳	۰/۰۰۲	۰/۰۰۲	۰/۰۰۲	۰/۰۰۲	۰/۰۰۰
تعداد تجزیه	۲	۲	۱	۲	۱	۱

$$\text{TFe} = \text{Fe}^{+3} + \text{Fe}^{+2}, \quad \text{TFeO} = \text{FeO} + \text{Fe}_2\text{O}_3, \quad x = \frac{[(\text{Fe} + \text{Mn})(\text{Fe} + \text{Mn} + \text{Mg})]}{100}$$

ادامه جدول ۲.

نحوه	Y-V, R-T*	T-110, R-O*	T-120, L-100*	T-110, R-O*	T-110, R-O*	R-O*	T-110, L-V*	T-110, L-V*
	r(Y)	r(Y)	r(Y)	r(Y)	r(Y)	r(Y)	r(Y)	r(Y)
SiO ₂	۲۹/۱۷	۲۹/۸۷	۲۹/۸۸	۲۹/۳۴	۲۹/۱۰	۲۹/۵۶	۲۵/۲۹	۲۵/۲۳
TiO ₂	۰/۰۱	۰/۰۱	*	*	*	۰/۰۳	۰/۰۲	۰/۰۲
Al ₂ O ₃	۱۸/۵۸	۱۸/۳۹	۱۷/۵۷	۱۷/۴۸	۱۸/۱۰	۱۷/۵۸	۱۸/۸۲	۱۸/۷۸
TFeO	۲۹/۵۳	۲۹/۴۴	۲۹/۴۴	۲۹/۴۴	۲۹/۸۸	۲۹/۴۴	۲۹/۲۱	۲۹/۲۱
MnO	۰/۰۵	۰/۰۴	۰/۰۵	۰/۰۵	۰/۰۵	۰/۰۵	۰/۰۵	۰/۰۵
MgO	۱۲/۰۲	۱۲/۰۵	۱۱/۴۲	۱۱/۴۲	۱۱/۰۵	۱۱/۸۴	۱۲/۲۹	۱۲/۲۹
CaO	۰/۰۲۰	۰/۰۱۰	*	*	۰/۰۰۳	۰/۰۰۳	۰/۰۰۴	۰/۰۰۴
H ₂ O	۱۱/۱۲	۱۱/۰۲	۱۰/۷۸	۱۰/۷۲	۱۰/۸۰	۱۰/۸۴	۱۰/۹۶	۱۰/۹۸
Si	۰/۰۴	۰/۰۵	۰/۰۵	۰/۰۵	۰/۰۵	۰/۰۵	۰/۰۵	۰/۰۵
Al ^{IV}	۲/۳۶	۲/۴۶	۲/۰۸	۲/۳۳	۲/۰۵	۲/۳۸	۲/۳	۲/۳۷
Al ^{VI}	۲/۳۵	۲/۲۵	۲/۲۵	۲/۲۵	۲/۲۱۰	۲/۱۸	۲/۲۴	۲/۲۴
Mg	۲/۱۸	۲/۲۵	۲/۱۷	۲/۱۷	۲/۱۷	۲/۱۷	۲/۲۷	۲/۲۷
TFe	۰/۲۲	۰/۲۰	۰/۲۰	۰/۲۰	۰/۲۰	۰/۲۰	۰/۲۰	۰/۲۰
Ca	۰/۰۰۰	۰/۰۰۱	۰/۰۰۱	۰/۰۰۱	۰/۰۰۰	۰/۰۰۰	*	۰/۰۰۰
Mn	۰/۱	۰/۱۱	۰/۱۲	۰/۱۸	۰/۱۸	۰/۱۲	۰/۲۰	۰/۲۰
Ti	*	*	*	*	۰/۰۰۵	۰/۰۰۳	*	۰/۰۰۳
مجموع کاربردی	۱۹/۹۸	۲۰/۱۰	۱۹/۸۲	۲۰/۰۳	۲۰/۰۱	۲۰/۰۳	۲۰/۰۵	۲۰/۰۴
x	۰/۹/۲۵	۰/۰/V	۰/۰/۱۱	۰/۰/۰۵	۰/۰/۰۱	۰/۰/۰۷	۰/۱/۰۴	۰/۰/۰۳
تعداد تجزیه	V	V	V	V	V	V	V	V

TFe = Fe⁺³+Fe⁺², TFeO=FeO+Fe₂O₃ توضیحات و L به روش نموده برداری مراجعه شود x = [(Fe+Mn+Mg)] 100



شکل ۳ - نمایش دمای تشکیل کلریت‌های رگه (۱)، (۲) و (۳)
اعماق ۲۰، ۱۰۰، ۱۳۵ و ۱۷۰ متری معدن قلعه‌زیری

جدول ۳- دمای تشکیل کلریتهای قلعه زری

$\frac{(Fe+Mn)}{(Fe+Mn+Mg)} \cdot 100$	MgO	FeO	Al ^{IV}	T°C	عمق	رگ
۷۰,۴۰	۸,۴۶	۲۲,۷۵	۱,۳	۲۹۲,۶	L-۳۰۰ و -۷۰	۱
۷۱,۲۲	۸,۲۲	۲۵,۴۹	۱,۳	۲۹۲,۶	L-۳۰۰ و -۷۰	
۷۲,۲۲	۷,۹۳	۲۶,۲۵	۱,۲۸	۲۸۹,۲۶	L-۱۰۰ و -۱۰۰	۱
۶۹,۲۰	۸,۴۹	۲۲,۸۰	۱,۲۷۵	۲۸۸,۲۰	L-۱۰۰ و -۱۰۰	۱
۶۹,۵۰	۸,۵۹	۲۴,۱۶	۱,۲۱	۲۹۵,۷۲	R-۱۰۰-۱۳۵	۱
۶۸,۱۱	۹,۱۷	۲۴,۱۴	۱,۲۹	۲۹۱,۴۸	R-۱۰۰-۱۳۵	۱
۶۶,۵۴	۹,۵۲	۲۲,۰۵	۱,۲۵	۲۸۳	L-۲۵۰-۱۳۵	۱
۶۴,۴۰	۱۰,۴۴	۲۲,۹۴	۱,۲۸۵	۲۹۰,۴۲	L-۲۵۰-۱۳۵	۱
۶۲,۹۲	۱۱,۰۲	۲۲,۶۴	۱,۲۲	۲۷۸,۷۶	L-۲۵۰-۱۷۰	۱
۶۰,۳۲	۱۰,۰۵	۲۱,۰۵	۱,۲۸۰	۲۸۶,۱۸	L-۲۵۰-۱۷۰	۱
۷۲,۷۰	۷,۹۹	۲۶,۹۶	۱,۲۱	۲۹۵,۷۲	L-۱۰۰-۷۰	۲
۶۷,۶۲	۹,۳۱	۲۲,۴۸	۱,۲۷۵	۲۸۸,۲۰	L-۱۰۰-۷۰	۲
۵۶,۴۰	۱۳,۰۲	۲۹,۰۳	۱,۱۸	۲۶۸,۱۶	R-۵۰-۷۰	۲
۵۰,۷۰	۱۳,۰	۲۹,۶۶	۱,۲۲	۲۷۸,۷۶	R-۵۰-۷۰	۲
۵۲,۳۲	۱۱,۴۷	۲۲,۰۴	۱,۳	۲۹۴,۶۶	R-۲۵۰-۷۰	۲
۵۰,۳۹	۱۲,۰۷	۲۹,۶	۱,۲۱۰	۲۷۸,۴۳	L-۲۵۰-۱۰۰	۲
۵۰,۹۱	۱۲,۷۴	۲۹,۱۰	۱,۲۰۵	۲۷۲,۴۶	L-۲۵۰-۱۰۰	
۶۱,۹۶	۱۱,۱۹	۲۱,۴	۱,۲۴۵	۲۸۱,۹۴	L-۷۰-۱۳۵	۲
۶۱,۱۱	۱۱,۳۲	۲۱,۲۱	۱,۲۷۵	۲۸۸,۲۰	L-۷۰-۱۳۵	۲
۶۲,۰۹	۱۱,۶۶	۲۲,۲۲	۱,۲۰۰	۲۸۴,۰۶	L-۵۰-۱۷۰	۲
۵۹,۲۲	۱۲,۱۹	۲۰,۹۱	۱,۱۳۵	۲۵۸,۷۲	L-۵۰-۱۷۰	
۵۹,۰۰	۱۱,۹۳	۲۰,۷۱	۱,۲۲۵	۲۷۹,۸۲	L-۵۰-۱۷۰	
۶۲,۰۷	۱۱,۱۱	۲۱,۸۵	۱,۲۸۵	۲۸۶,۱۸	L-۱۰۰-۱۷۰	۲
۶۹,۰۳	۸,۶۸	۲۲,۰۵	۱,۲۹۰	۲۹۲,۰۴	L-۱۰۰-۱۷۰	
۶۰,۱۷	۱۱,۶۰	۲۰,۶۸	۱,۱۸	۲۶۸,۱۲	L-۷۰-۷۰	۲
۶۱,۴۰	۱۱,۴۴	۲۱,۸۲	۱,۲۰	۲۷۲,۴۰	L-۷۰-۷۰	
۶۶,۸۰	۹,۲۷	۲۲,۴۵	۱,۱۶۰	۲۸۵	-۷۰	۲
۶۲,۳۳	۱۰,۹۷	۲۱,۰۷	۱,۲۳	۲۷۸,۷۶	-۷۰	
۶۱,۰۰	۱۱,۲۲	۲۱,۴۴	۱,۱۶۰	۲۸۵	R-۵۰-۱۰۰	۲

ادامه جدول ۳

$\frac{(Fe+Mn)100}{(Fe+Mn+Mg)}$	MgO	FeO	Al ^{IV}	T°C	عمق	رگه
۶۴,۶۶	۱۰,۳۲	۳۲,۳۴	۱,۲۵۵	۲۸۴	L-۵۰-۱۰۰	۳
۶۴,۸۷	۱۰,۲۹	۳۲,۷۸	۱,۲۴۶	۲۸۲	L-۵۰-۱۰۰	۳
۶۴,۷۰	۱۰,۳۶	۳۲,۸۷	۱,۲۲	۲۷۶,۶	L-۵۰-۱۰۰	۳
۶۶,۰۸	۹,۸۶	۳۲,۰۷	۱,۲۷	۲۸۷,۲	L-۵۰-۱۲۵	۳
۵۸,۹۱	۱۲,۴۰	۳۰,۹۱	۱,۲۰۵	۲۷۳	L-۵۰-۱۲۵	
۷۲,۵۱	۷,۸۷	۳۶,۰۶	۱,۲۸۵	۲۹۰,۴۲	L-۱۰۰-۱۲۵	۳
۷۲,۲۶	۸,۰۵	۳۶,۲۵	۱,۲۴	۲۸۰,۸	L-۱۰۰-۱۲۵	
۶۰,۶۷	۱۱,۸۴	۳۱,۸۹	۱,۲۰	۲۷۲,۴	R-۵۰-۱۷۰	۳
۵۸,۳۶	۱۲,۲۹	۳۰,۰۷	۱,۲۳۵	۲۷۹,۸	R-۵۰-۱۷۰	

توضیحات L و R به روش نمونه برداری مراجعه شود

دماهی تشکیل ۱۹ نمونه از کلریتهای معدن قلعه زری که پاراژنز آن با کانیهای کوارتز و هماتیت به روشنی مشخص بودند با استفاده از فرمول کاتلینو و نیوا [۹] محاسبه شد. در جدول (۳) دماهی تشکیل این کلریتها و میزان تغییرات MgO، FeO و Al^{IV} گزارش شده است. دامنه تغییرات دما در رگه (۱) بین ۲۷۸°C تا ۳۱۰°C است (شکل ۳). اختلاف دماهی قابل توجهی بین عمق ۷۰-تا ۱۷۰- متری در این رگه دیده نمی شود (شکل ۳). دامنه تغییرات دما در رگه (۲) بین ۲۶۰°C تا ۳۱۰°C است (شکل ۳). در این رگه اختلاف دما بین عمق ۷۰-تا ۱۷۰- متری مشاهده نمی شود. دماهی نمونه های عمق ۷۰- متری به سمت جنوب غرب ۱۰°C تا ۱۵°C کمتر است. دامنه تغییرات دماهی رگه (۳) بین ۲۶۰°C تا ۲۹۰°C است (شکل ۳). اختلاف دما بین سطح و عمق ۱۷۰- متری رگه (۳) مشاهده نمی شود (شکل ۳).

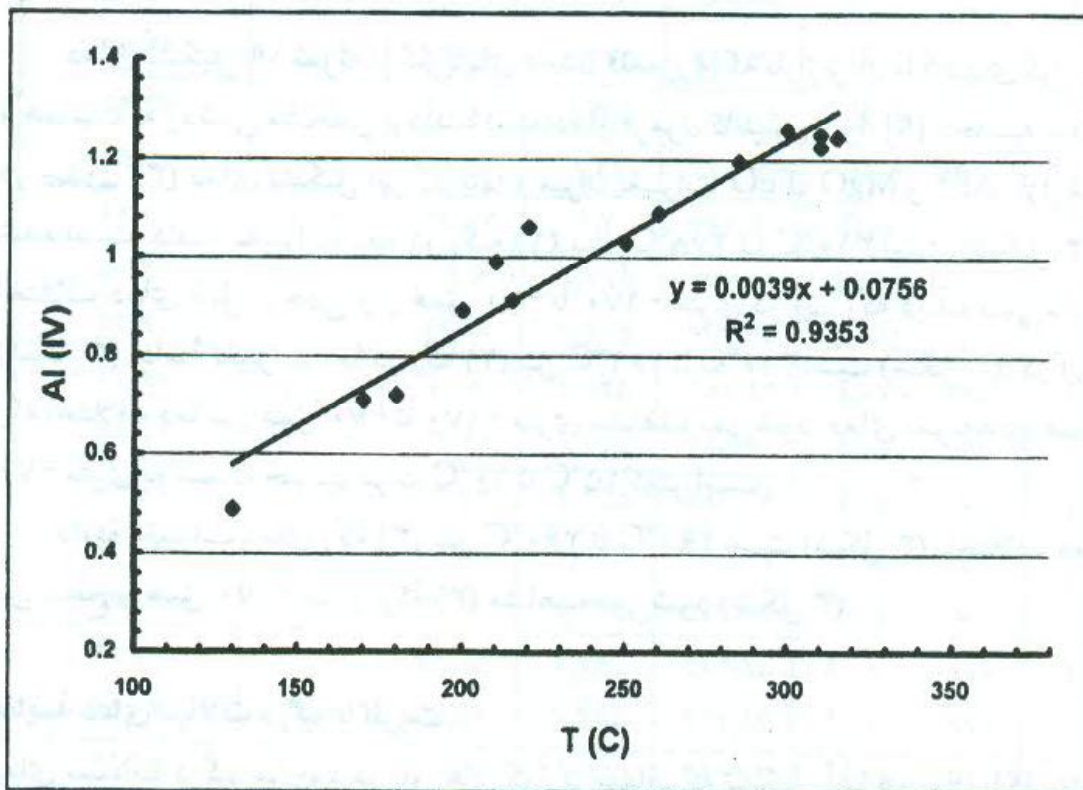
مقایسه دماهی سیالات درگیر با کلریت

دماهی سیالات درگیر موجود در بلورهای کوارتز شفاف که تشکیل آنها همزمان با کلریت بوده است در رگه های (۱)، (۲) و (۳) اندازه گیری شدند (جدول ۴). سیالات درگیر اندازه گیری شده در سه رگه از نوع غنی از محلول اند. دماهی اندازه گیری شده در این سیالات در تمامی رگه ها بیش از دماهی محاسبه شده بر اساس ترکیب کلریت است

فرمول محاسبه دمای تشکیل کلریت که توسط کاتلینو و نیوا [۹] ارائه شده است براساس دمای محدوده 130°C تا 260°C بوده است. از آنجاکه کلریتها قلعه زری در

جدول ۴- مقایسه دمای سیالات درگیر کوارتز با دمای کلریت در معن قلعه زری

Al^{IV}	دما کلریت (سانتی گراد)	دما سیال درگیر میانگین (سانتی گراد)	عمق	رگه شماره
۱,۲۶	۲۸۵	۳۰۰	-۱۷۰ و L-۲۵۰	۱
۱,۲۵	۲۸۰	۳۱۰	-۱۷۰ و L-۵۰	۲
۱,۱۹۵	۲۷۰	۲۸۵	-۷۰ و L-۷۰	۳
۱,۲۴۵	۲۸۲	۳۱۵	-۱۰۰ و L۵۰	۴
۱,۲۲۵	۲۷۷	۳۱۰	-۱۲۵ و L-۵۰	۵



شکل ۴- نمایش بررسی میزان تغییرات (IV) Al و دما در کلریتها قلعه زری و کاتلینو و نیوا [۵]
وارانه معادله جدید جهت محاسبه دمای تشکیل کلریت

دمای بالاتر از ۲۶۰ درجه سانتی گراد تشکیل شده‌اند دمای محاسبه شده براساس معادله کاتلینو و نیوا 15°C تا 30°C کمتر از دمای اندازه گیری شده به روش سیالات درگیر است.

به منظور اصلاح این معادله و کاربرد آن برای دمای بالاتر، اطلاعات دماستنجی براساس سیالات درگیر بلور کوارتز و میزان Al^{IV} در کلریت (کلریت و کوارتز انتخابی همزمان متبلور شده‌اند) در معدن قلعه‌زری و اطلاعات استفاده شده توسط کاتلینو و نیوا [۹] در نمودار (شکل ۴) ترسیم شدند. با استفاده از این اطلاعات بهترین خط ترسیم شد (شکل ۴). معادله‌ای که براساس این نمودار به دست آمد به قرار زیر است.

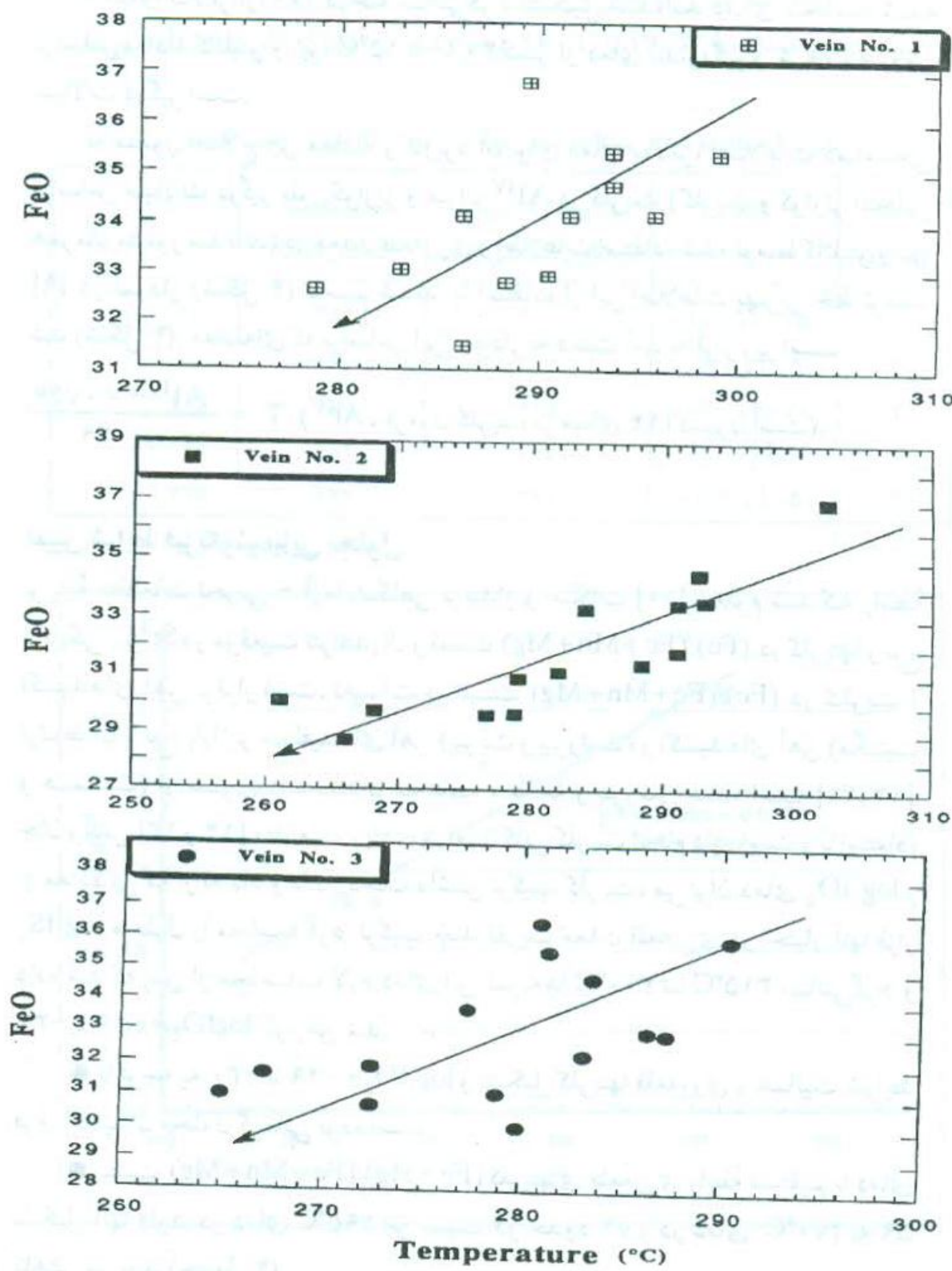
$$T = \frac{\text{Al}^{\text{IV}} - 0,0756}{0,0039}$$

تعیین شرایط فیزیکو شیمیایی محلول

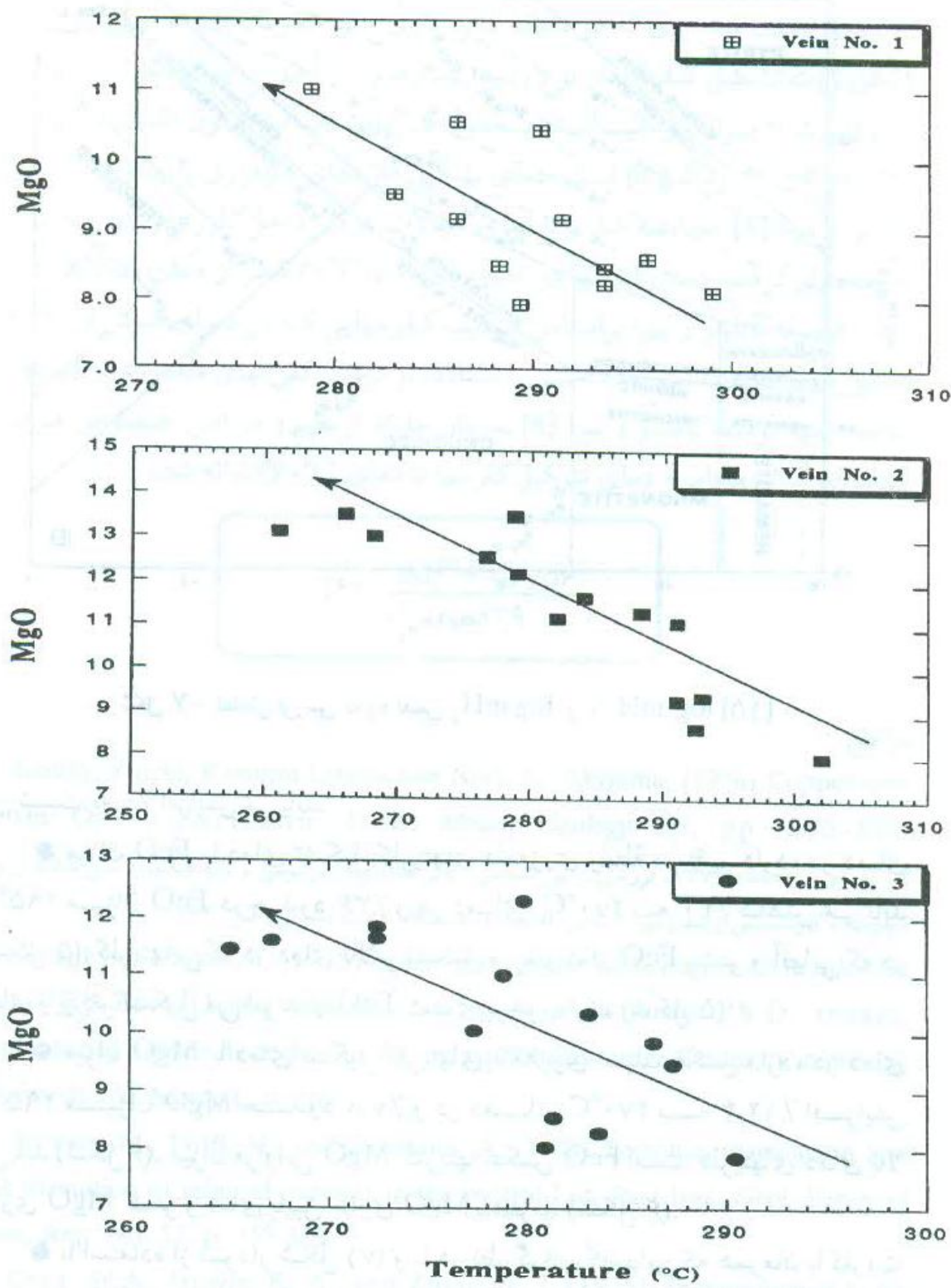
بر پایه مطالعات تجربی - آزمایشگاهی برینداز و اسکات [۱۰] معلوم شد که رابطه نزدیکی بین Si در موقعیت تتراهرال و نسبت $(\text{Fe})/(\text{Fe}+\text{Mn}+\text{Mg})$ در کلریتها و نوع اکسیدهای آهن برقرار است. تغییرات در نسبت $(\text{Fe})/(\text{Fe}+\text{Mn}+\text{Mg})$ در کلریت و ارتباط آن با نوع پاراژنز سولفیدهای آهن (پیریت و پیروتیت) و اکسیدهای آهن (مگنتیت و هماتیت) از سوی دانشمندان مختلف مطالعه و بررسی شده است [۱۱، ۱۲]. جان وآلش [۱۳ و ۱۴] مطالعات زیادی پیرامون کانی کلریت انجام داده است و با استفاده از معادلاتی که ارائه داد و با در دست داشتن ترکیب کلریت، می‌توان دمای $\log f\text{O}_2$ و $\log f\text{S}_2$ محلول را محاسبه کرد. ترکیب چند کلریت معدن قلعه‌زری در اختیار آنها قرار داده شد که پس از محاسبات لازم دمای این نمونه‌ها 300°C تا 315°C سانتی گراد و -30 تا -29 $\log f\text{O}_2$ گزارش شد.

- با توجه به $\log f\text{O}_2 = -29$ تا -30 و تشکیل کلریتها قلعه‌زری با هماتیت شرایط فوق اکسیدان محلول گرمابی بوده است.
- نسبت $(\text{Fe}+\text{Mg})/(\text{Fe}+\text{Mn}+\text{Mg})$ کلریتهای قلعه‌زری رابطه مستقیم با دمای تشکیل آنها دارد. در دمای 295°C این نسبت در حدود ۷۲ و در دمای 270°C به ۵۹ کاهش می‌یابد (جدول ۲).

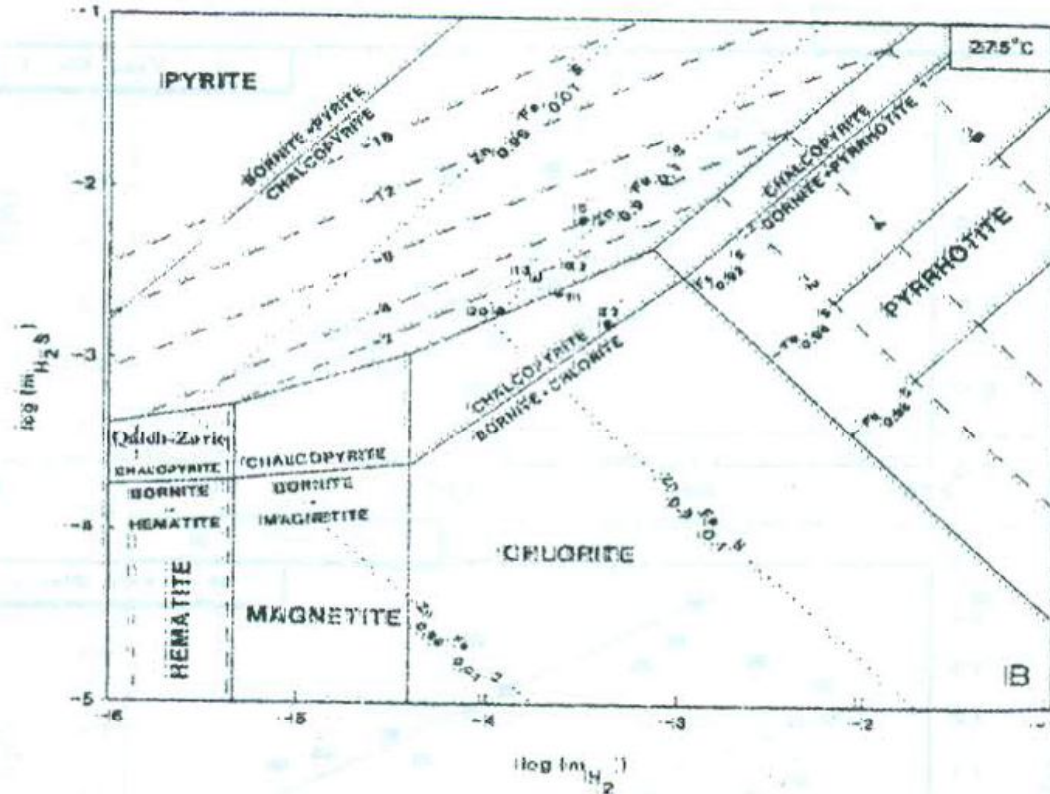
- نسبت $(\text{Fe}+\text{Mg})/(\text{Fe}+\text{Mn}+\text{Mg})$ کلریتهای قلعه‌زری با میزان Si چهار وجهی رابطه عکس دارد. در حالت $\text{Si} = 5,64$ این نسبت ۵۶ و در شرایط $\text{Si} = 5,4$



شکل ۵ - نمایش بررسی نحوه تغییرات FeO و دما در گلریتهای قلعه زری



شکل ۶ - نمایش بررسی نحوه تغییرات MgO و دما در کلریتهاي قلعه زري



شکل ۷- نمایش بررسی نحوه تعیین $\log mH_2S$ و $\log mH_2O$

این نسبت به ۷۰ افزایش می‌یابد.

- میزان FeO با دمای تشكیل کلریتهای قلعه‌زیری رابطه مستقیم دارد، در دمای $295^{\circ}C$ میزان FeO در حدود 0.36% و در دمای $270^{\circ}C$ به 0.30% کاهش می‌یابد (شکل ۵). کلریتهایی که در دمای بالاتر تشكیل می‌شوند از FeO بیشتر و آنها بی‌که در دمای پایین‌تر تشكیل می‌شوند از FeO کمتری برخوردارند (شکل ۵)

- میزان MgO با دمای تشكیل کلریتهای قلعه‌زیری نسبت عکس دارد، در دمای $295^{\circ}C$ میزان MgO حدود 0.78% و در دمای $270^{\circ}C$ به 0.124% افزایش می‌یابد (شکل ۶). میزان فراوانی MgO کلریتها عکس FeO است. کلریتهای دمای بالا حاوی MgO کمتر و دمای پایین حاوی MgO بیشترند (شکل ۶).

- با استفاده از نمودار شکل (۷) و با در نظر گرفتن کانیهایی که همزمان با کلریت (هماتیت و کالکوپیریت) در رگه‌های معدن قلعه‌زیری تشكیل شده‌اند معلوم شد که $-5/5 < \log mH_2S$ و $\log mH_2O < -3/3$ تا $-3/7$ بوده است.

نتیجه

کلریتهای معدن قلعه زری که در منطقه کانی سازی مس همزمان با هماتیت، کوارتز و کالکوپیریت تشکیل شده اند از نوع رپیدولیت غنی از آهن و چند نمونه آن از نوع پینوکلریت - برانزویجیت اند. محلول گرمابی حالت فوق اکسیدان داشته $(\log fO_2 = -29 \text{ تا } -30)$ است. دمای تشکیل کلریتهای قلعه زری با استفاده از فرمول کاتلینو و نیوا [۹] محاسبه شد و با دمای سیالات درگیر داخل بلورهای کوارتز مورد مقایسه قرار گرفت. دمای کلریتها در حدود 10°C تا 30°C کمتر از دمای سیالات درگیر است. فرمول کاتلینو و نیوا براساس ترکیب کلریتها که در دمای کمتر از 260°C تشکیل شده اند به دست آمده است. با استفاده از ترکیب کلریتها قلعه زری و کلریتها مطالعه شده توسط کاتلینو و نیوا [۹] نمودار جدید ترسیم و در این خصوص فرمول جدید زیر برای محاسبه دمای تشکیل کلریتها تا دمای 36°C ارائه شد:

$$T = \frac{A1^{IV} - 0,0756}{0,0039}$$

مراجع

1. Suzuki, Yuichi, Katsumi Ogawa and Norihito Akiyama, (1976) Copper ores from Qaleh-Zari min, Iran: *Mining Geology*. 26, pp. 385-391.
- ۲- دیدهور، محمد، ۱۳۷۴، بررسی زمین شناسی، کانی شناسی، ژئوشیمی و ژنز کانسار مس قلعه زری: پایان نامه کارشناسی ارشد زمین شناسی اقتصادی دانشگاه تربیت مدرس، ص. ۱۳۳.
3. Sadaghyani-Aval, F. (1976) Etude géologique de la région de la mine de Khal-Eh-Zari (Iran) mineralisation et inclusions fluides Ph.D. theses, unpublished équipe de recherche sur les équilibres entre fluides et minéraux, Université de Nancy I., p. 165
4. Tarkian, M., Lotfi, M., and Baumann, A. (1983) Tectonic, magmatism and the formation of mineral deposits in the central Lut, East Iran, *Geol. Survey of Iran*, Rep. No. 57, p. 357-383.
5. Deer, W.A., Howie, R. A., and Zussman, J. (1975) *An introduction to the rock forming minerals*: Longman.
6. Hey, M.H. (1954) Nomenclature of chlorites: *Min. Mag.*, V. 30, p. 277

7. Walker, J. R. (1993) Chlorite polytype geothermometry: *Clays Minerals*, 4, p. 260-267.
8. McPhail, D. C., Berman, R. G., and Greenwood, H. J. (1990) Experimental and theoretical constraints on aluminium substitution in magnesium chlorite: *Canadian Mineralogist*, 28, p. 859-874.
9. Cathelineau, M., and Nieva, D. (1985) A chlorite solid solution geothermometer, the Los Azufres (Mexico) geothermal system: *Contrib. Mineral Petrol.*, 19, p. 235-244.
10. Cathelineau, M. (1988) Cation size occupancy in chlorite and illites as function of temperature: *Clay Minerals*, 83, p. 471-386.
10. Bryndzia, T., and Scott, S.d. (1987) The composition of chlorite as a function of sulfur and oxygen fugacity, an experimental study: *Am. Journal of Sci.*, V. 287, p. 50-76.
11. Rumble, D. (1976) Oxide minerals in metamorphic rocks: *Mineralogy. Soc. Am. short course notes*, V. 1, p. 81-
12. Bryndzia, T.(1983) The composition of chlorite as a function of sulfur and oxygen fugacity, an experimental study: Ph.D. thesis University of Toronto, 120p.
13. Walshe, J. L., and Solomon, M.(1981) An investigation into the environment of formation of the volcanic-hosted Mt. Lyell copper deposits, using geology, mineralogy, stable isotopes and a six component chlorite solid-solution model: *Econ. Geology*, V. 76, p. 246-284.
14. Walshe, J. L.(1986) A six-component solid solution model and the conditions of chlorite formation in hydrothermal and geothermal systems: *Econ. Geology*, V. 81, p. 681-703.
15. Lonker, S.W., Fitz Gerald, J.D., Hedenquist, J. W., and Walshe, J. L. (1990) Mineral-fluid interaction in the Broalands-Ohaaki geothermal system, New Zealand: *Am. Jour. of Science*, V. 290, p. 995-1068.